

Objetos astrofísicos hechos de campos escalares

Juan Barranco Monarca



Seminario del Cuerpo Académico de Partículas, Campos y Relatividad General

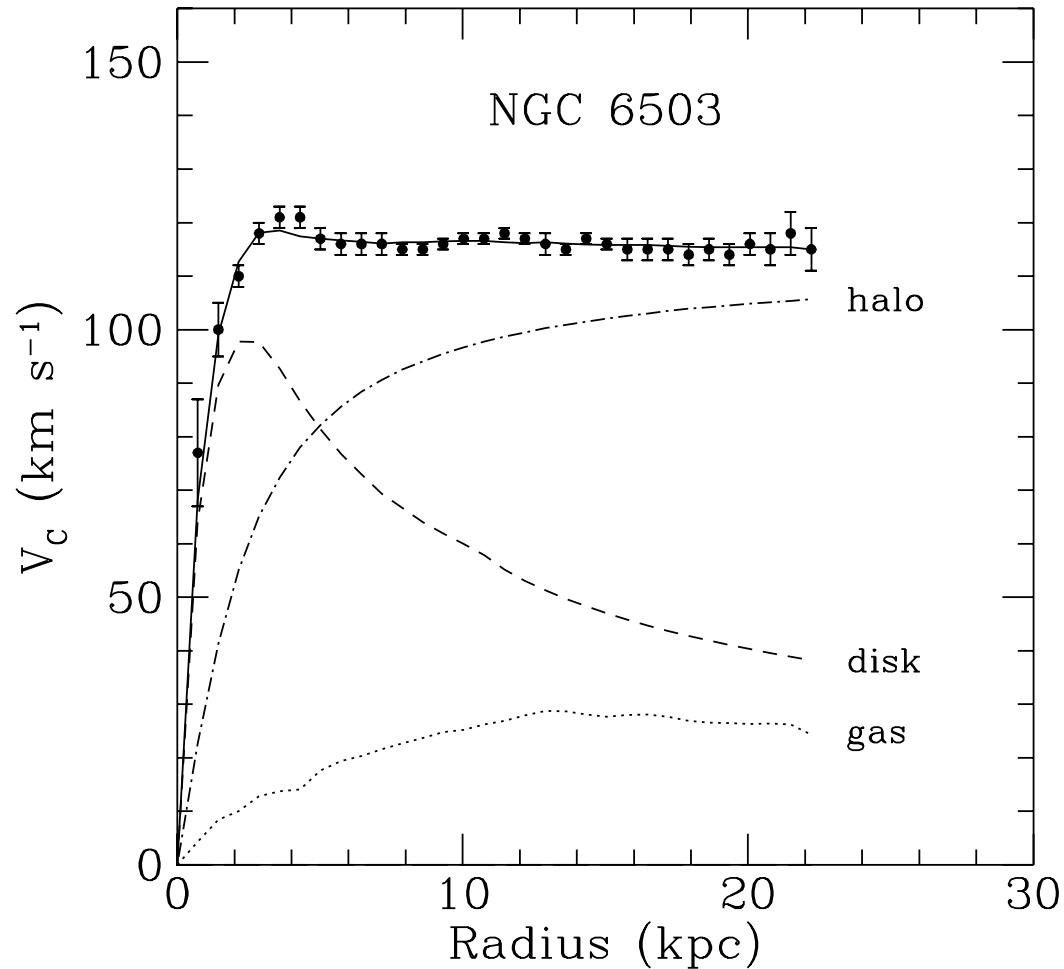
FCFM-BUAP, 16-Marzo-2011

Plan de la plática

- Materia oscura (DM) como motivación
 - Estrellas de neutralinos
- Objetos compactos hechos de campo escalar
 - Estrellas de axiones
 - BS como objetos compactos muy masivos
- Conclusiones

DM como motivación

La evidencia mas convincente y directa de la existencia de la Materia oscura a escalas galácticas viene de la observación de las *curvas de rotación*



DM como motivación

- A escalas galácticas:
 - *Modulación débil de lentes gravitacionales fuertes: Sugiere sub-estructura a escalas de $\sim 10^6 M_{\odot}$*
 - *Lentes gravitacionales débiles de galaxias lejanas*
 - *Las velocidades de dispersión de galaxias enanas esferoidales que implican una razón masa - luminosidad mas grande que la observada en nuestro vecindario galáctico.*
 - *La velocidad de dispersión de galaxias satélites que sugiere la existencia de halos de materia alrededor de las galaxias espirales que se extiende a mas allá de $\gtrsim 200$ kpc.*

DM como motivación

- A escalas cosmológicas

Se parte de un modelo cosmológico, que tiene un número fijo de parámetros, y utilizando los datos del espectro del CMB, el conjunto de valores del modelo son aquellos que dan el mejor ajuste a los datos experimentales.

- El análisis de WMAP:

$$\Omega_b h^2 = 0,024 \pm 0,001 \quad , \quad \Omega_M h^2 = 0,14 \pm 0,02.$$

- Y si se incluye las mediciones de la estructura a gran escala (2dFGRS) y el Lyman α forest:

$$\Omega_b h^2 = 0,0224 \pm 0,0009 \quad \Omega_M h^2 = 0,135^{+0,008}_{-0,009}.$$

Evidencia creciente de la existencia de DM

El gran problema...

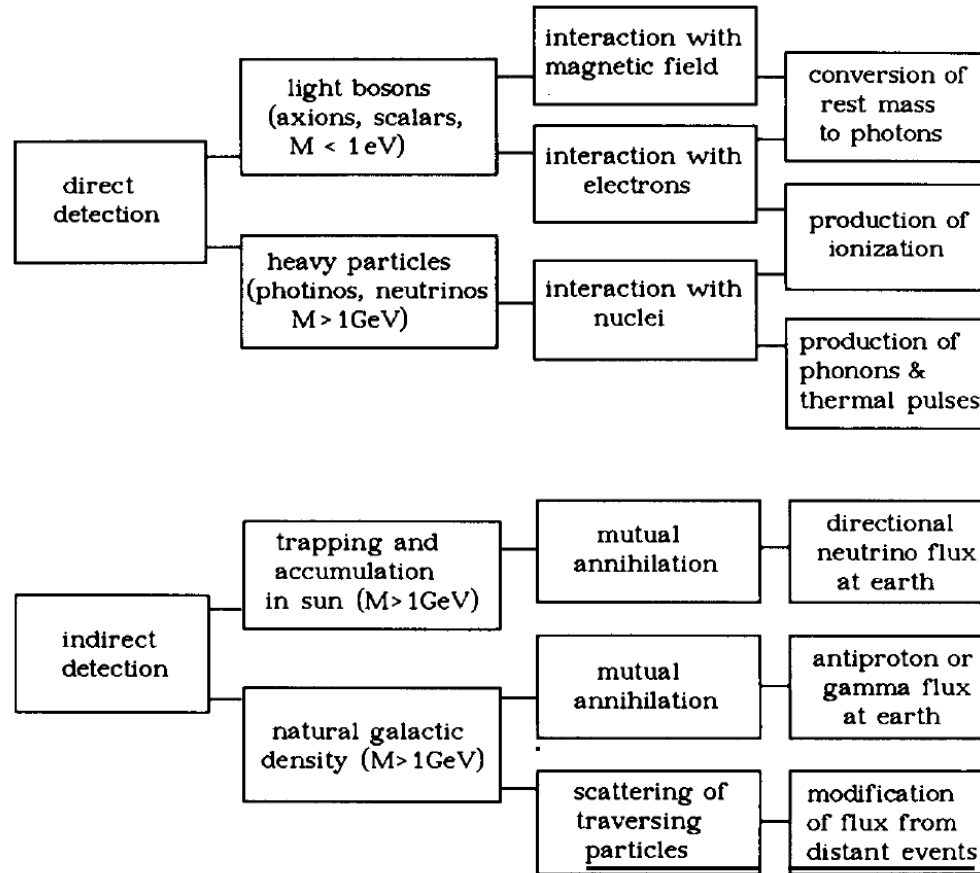
¿ De qué esta hecha la materia oscura?

<i>DM candidate</i>	I. Ωh^2	II. Cold	III. Neutral	IV. BBN	V. Stars	VI. Self	VII. Direct	VIII. γ -rays	IX. Astro	X. Probed	Result
SM Neutrinos	×	×	✓	×	×	×	×	–	–	✓	×
Sterile Neutrinos	~	~	✓	✓	✓	✓	✓	✓	✓!	✓	~
Neutralino	✓	✓	✓	✓	✓	✓	✓!	✓!	✓!	✓	✓
Gravitino	✓	✓	✓	~	✓	✓	✓	✓	✓	✓	~
Gravitino (broken R-parity)	✓	✓	✓	✓	✓	✓	✓	✓	✓	✓	✓
Sneutrino $\tilde{\nu}_L$	~	✓	✓	✓	✓	✓	×	✓!	✓!	✓	×
Sneutrino $\tilde{\nu}_R$	✓	✓	✓	✓	✓	✓	✓!	✓!	✓!	✓	✓
Axino	✓	✓	✓	✓	✓	✓	✓	✓	✓	✓	✓
SUSY Q-balls	✓	✓	✓	✓	~	–	✓!	✓	✓	✓	~
B^1 UED	✓	✓	✓	✓	✓	✓	✓!	✓!	✓!	✓	✓
First level graviton UED	✓	✓	✓	✓	✓	✓	✓	×	×	✓	\times^a
Axion	✓	✓	✓	✓	✓	✓	✓!	✓	✓	✓	✓
Heavy photon (Little Higgs)	✓	✓	✓	✓	✓	✓	✓	✓!	✓!	✓	✓
Inert Higgs model	✓	✓	✓	✓	✓	✓	✓	✓!	–	✓	✓
Champs	✓	✓	×	✓	×	–	–	–	–	✓	×
Wimpzillas	✓	✓	✓	✓	✓	✓	✓	✓	✓	~	~

M. Taoso, G. Bertone and A. Masiero, JCAP 0803:022,2008

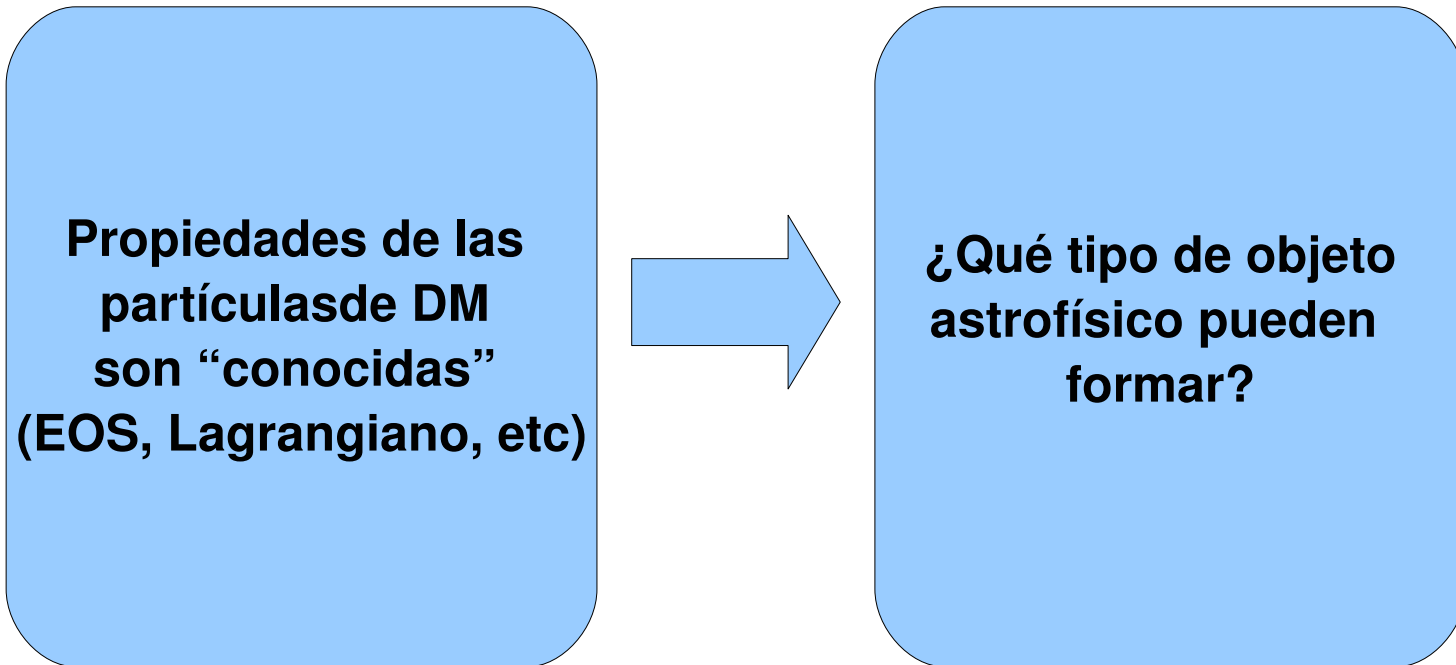
NO se ha detectado ningún candidato de materia oscura

El gran problema...



NO se ha detectado ningún candidato de materia oscura

¿Otras formas de detectar a la materia oscura?



$$G_{\mu\nu} = 8\pi G T_{\mu\nu}$$

Estrellas de neutralinos

Equation of state for neutralino star as a form of cold dark matter

Jie Ren, Xue-Qian Li, Hong Shen

Commun.Theor.Phys.49:212-216,2008

e-Print: hep-ph/0604227

Las ecuaciones de Einstein, en simetría esférica para un fluido se pueden escribir como:

$$\frac{dp}{dr} = -\frac{GM\rho}{r^2} \left(1 + \frac{p}{\rho}\right) \left(1 + \frac{4\pi r^3 p}{M}\right) \left(1 - \frac{2GM}{r}\right)^{-1},$$

donde

$$M(r) = \int_0^r 4\pi r'^2 \rho(r') dr'.$$

Estas ecs. son conocidas como las ecuaciones Tolman-Oppenheimer-Volkof (TOV)

Estrellas de neutralinos

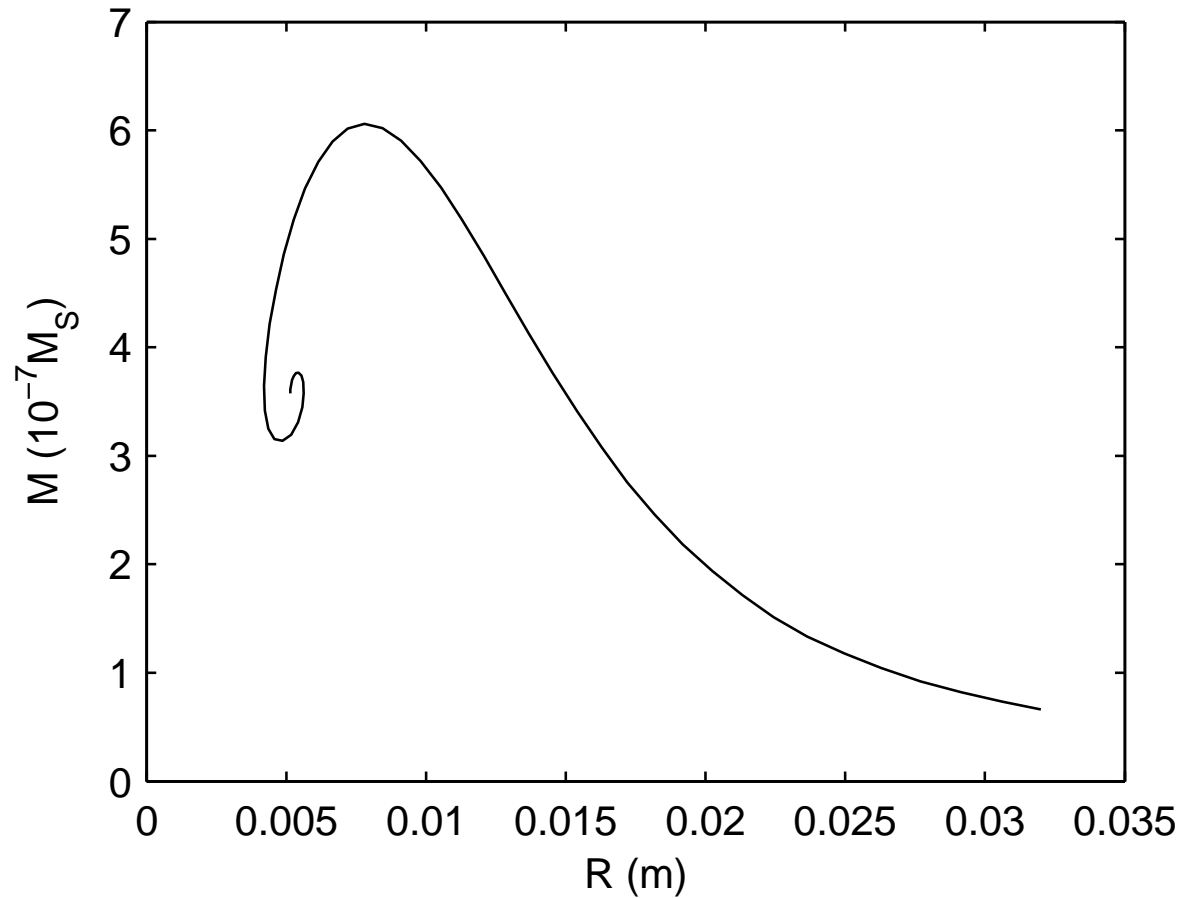
Se necesita una expresión para la presión y la densidad: Ecuación de estado (EOS). Para los neutralinos esta EOS se obtiene tomando en cuenta las interacciones de los neutralinos con los bosones en una aproximación de campo medio relativista:

$$\rho = \frac{1}{\pi^2} \int_0^{k_F} \sqrt{k^2 + m^{*2}} k^2 dk + \frac{1}{2} m_H^2 H^2 + \frac{1}{2} m_h^2 h^2 + \frac{1}{2} m_Z^2 Z^2,$$

$$p = \frac{1}{3\pi^2} \int_0^{k_F} \frac{k^4 dk}{\sqrt{k^2 + m^{*2}}} - \frac{1}{2} m_H^2 H^2 - \frac{1}{2} m_h^2 h^2 + \frac{1}{2} m_Z^2 Z^2.$$

m_χ (GeV)	1016,79763
m_H (GeV)	753,36438
m_h (GeV)	118,760345
m_A (GeV)	753,24107
m_Z (GeV)	91,187
g_H	0,3131
g_h	-0,02705
g_A	-0,02726i
g_Z	0,00143

Estrellas de neutralinos



Si la masa del neutralino es de 1 TeV, la masa máxima de la estrella de neutralinos es de $\sim 6. \times 10^{-7} M_{\odot}$. Y su radio ~ 7 mm.

Campos escalares como un modelo viable de DM

● WIMPS

1. La aparición de perfiles de densidad “puntiagudos”
2. Falla en la predicción del número de galaxias satélites

● Una alternativa a los WIMPS: Un modelo de materia oscura escalar (SFDM)

La DM es modelada por un campo escalar asociado a una partícula ultra-ligera ($m \sim 10^{-23}$ eV)

● A distancias cosmológicas reproduce CDM

T. Matos, L.A. Urena-Lopez, Class. Quant. Grav. **17** L75 (2000),
V. Sahni and L.M. Wang, Phys. Rev D **62**, 103517 (2000).

● A escalas galácticas, éste no tiene los problemas de CDM:

● No genera perfiles de densidad “puntiagudos”

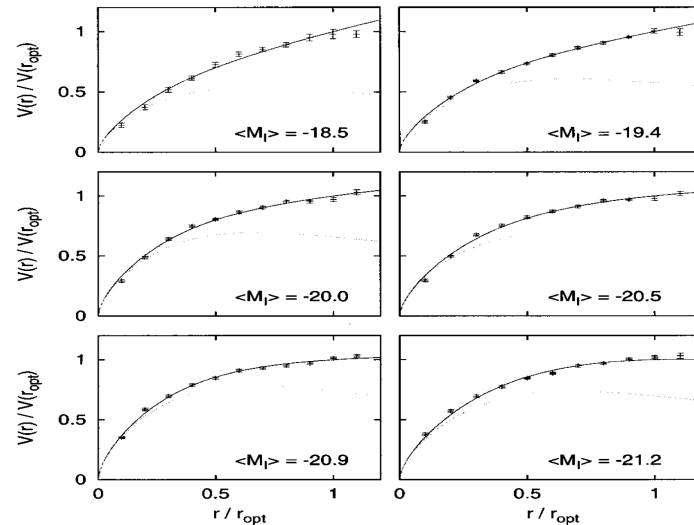
A. Bernal, T. Matos, D. Nuñez, Rev. Mex. A.A. **44**, 149 (2008)

● No genera una sobre-densidad de galaxias satélites

T. Matos, L.A. Urena-Lopez, Phys. Rev. D **63**, 063506 (2001)

¿ Pueden ser utilizadas estas BS para modelar un halo?

Calculamos la velocidad tangencial, que para una métrica esféricamente simétrica y estática $v(r)^2 = 2BB'$



$$l \sim \sqrt{\frac{1}{\sigma(0)} \frac{1}{m}}, \quad \frac{v}{c} \sim \sqrt{\frac{1}{\sigma(0)}}$$

$$\sigma(0) \sim 10^{-6}, \quad m \sim 10^{-23} \text{eV} \rightarrow l \sim 10 \text{kpc}, \quad v \sim 10^{-3} c$$

A. Arbey, J. Lesgourgues, and P. Salati, *Quintessential halos around galaxies*, *Phys. Rev. D* **64** (2001) 123528 $m \simeq 6 \times 10^{-24} \text{eV}$

¿ Pueden ser utilizadas estas BS para modelar un halo?

- Incluyendo auto-interacción entre los campos escalares [Phys. Rev. **D68** (2003) 023511]

$$\frac{m_\phi^4}{\lambda} \sim 50\text{eV}^4$$

¿ Pueden ser utilizadas estas BS para modelar un halo?

- Incluyendo auto-interacción entre los campos escalares [Phys. Rev. **D68** (2003) 023511]

$$\frac{m_{\phi}^4}{\lambda} \sim 50\text{eV}^4$$

- ¿Cómo modelar la gran variedad de galaxias?
 - Flat rotation curves in scalar field galaxy halos.
Tonatiah Matos, L.Arturo Urena-Lopez
Gen.Rel.Grav. 39 (2007) 1279-1286
 - Multi-state Boson Stars.
Argelia Bernal, Juan Barranco, Daniela Alic, Carlos Palenzuela
Phys.Rev. D81 (2010) 044031
e-Print: arXiv:0908.2435 [gr-qc]
 - Bosonic gas as a Galactic Dark Matter Halo.
L.Arturo Urena-Lopez, Argelia Bernal
Phys.Rev. D82 (2010) 123535
e-Print: arXiv:1008.1231 [gr-qc]

¿ Pueden ser utilizadas estas BS para modelar un halo?

- Incluyendo auto-interacción entre los campos escalares [Phys. Rev. **D68** (2003) 023511]

$$\frac{m_\phi^4}{\lambda} \sim 50\text{eV}^4$$

- ¿Cómo modelar la gran variedad de galaxias?
 - Flat rotation curves in scalar field galaxy halos.
Tonatiah Matos, L.Arturo Urena-Lopez
Gen.Rel.Grav. 39 (2007) 1279-1286
 - Multi-state Boson Stars.
Argelia Bernal, Juan Barranco, Daniela Alic, Carlos Palenzuela
Phys.Rev. D81 (2010) 044031
e-Print: arXiv:0908.2435 [gr-qc]
 - Bosonic gas as a Galactic Dark Matter Halo.
L.Arturo Urena-Lopez, Argelia Bernal
Phys.Rev. D82 (2010) 123535
e-Print: arXiv:1008.1231 [gr-qc]

- El campo escalar puede formar un objeto autogravitante tan grande como la galaxia misma

¿ Qué otros objetos astrofísicos?

- Minimachos si el campo escalar tiene las propiedades del axión
- Imitadores de hoyos negros super-masivos

Estrellas de bosones (sistemas auto-gravitantes de campos escalares)

Dos aproximaciones diferentes:

- Utilizando campos escalares complejos
D.J. Kaup, *Klein-Gordon Geon Phys. Rev.* **172** , 1331
- Campos escalares cuánticos reales
R. Ruffini and S. Bonazzola, *Systems of selfgravitating particles in general relativity and the concept of an equation of state*, *Phys. Rev.* **187**, 1767 (1969).

Ambos tratamientos son equivalentes

Una breve descripción de BS:

$$T_{\mu\nu} \implies \hat{T}_{\mu\nu} \implies \langle Q | \hat{T}_{\mu\nu} | Q \rangle$$

$$G_{\mu\nu} = 8\pi G \langle \hat{T}_{\mu\nu} \rangle, \quad \left(\square - \frac{dV}{d\hat{\phi}^2} \right) \hat{\phi} = 0,$$

$$\phi \rightarrow \hat{\phi} = \sum_{lmn} \left(\mu_{lmn}^+ R_{nl}(r) Y_m^l(\theta, \psi) e^{-iE_n t} + \mu_{lmn}^- R_{nl}(r) Y_m^{l*}(\theta, \psi) e^{+iE_n t} \right)$$

con las relaciones de conmutación

$$[\mu_{lmn}^+, \mu_{l'm'n'}^+] = [\mu_{lmn}^-, \mu_{l'm'n'}^-] = 0, \quad [\mu_{lmn}^+, \mu_{l'm'n'}^-] = \delta_{ll'} \delta_{mm'} \delta_{nn'}.$$

Estrellas de bosones

• $|Q\rangle = |N, 0, 0, 0\rangle$ es un estado para el cual las N partículas están en el estado base Estado base $l = m = 0$ y el campo es real puesto que $\hat{\phi} = \hat{\phi}^\dagger$.

$$\hat{\phi} = \mu_{100}^+ R_{10}(r) e^{-iE_1 t} + \mu_{100}^- R_{10}(r) e^{+iE_1 t}$$

$$ds^2 = B(r) dt^2 - A(r) dr^2 - r^2 (\sin^2 \theta d\theta^2 + d\phi^2)$$

$$\langle Q | T_0^0 | Q \rangle = -\frac{1}{2m} \hbar^2 N \left[\left(\frac{E_1^2}{B} + m^2 \right) R_{10}^2 + \frac{R_{10}'^2}{A} \right]$$

$$\langle Q | T_1^1 | Q \rangle = \frac{1}{2m} \hbar^2 N \left[\left(\frac{E_1^2}{B} - m^2 \right) R_{10}^2 + \frac{R_{10}'^2}{A} \right]$$

$$R_{10}'' + \left(\frac{2}{r} + \frac{B'}{2B} - \frac{A'}{2A} \right) R_{10}' + A \left[\frac{E_{10}^2}{B} - m^2 \right] R_{10} = 0$$

⇒ Campos escalares reales cuantizados producen estrellas de bosones y no “oscilatonos”

Otras bondades del límite semi-clásico

R. Ruffini, S. Bonazzola Phys. Rev. 187, 1767 (1969).

- $|Q\rangle = |N_{100}, N_{200}, N_{210}, \dots\rangle$. Debido a la ortogonalidad de los estados cuánticos:
 $\langle Q|\hat{T}_{\alpha\beta}|Q\rangle = \sum_{n=1}^{\infty} \sum_{l=1}^{n-1} \sum_{m=-l}^l \langle N_{nlm}|\hat{T}_{\alpha\beta}|N_{nlm}\rangle$, y entonces las ecuaciones de Einstein son

$$G_{\alpha\beta} = 16\pi G \sum_{n,l,m} N_{nlm} T_{\alpha\beta}(nlm)$$

- La ecuación de Klein-Gordon : $(\square - m^2) \hat{\Phi}(t, \mathbf{x}) = 0$, pero recordando

$$\hat{\Phi} = \sum_{nlm} \left[\hat{b}_{nlm} \Phi_{nlm}(t, \mathbf{x}) + \hat{b}_{nlm}^\dagger \Phi_{nlm}^*(t, \mathbf{x}) \right],$$

y por lo tanto, cada coeficiente debe satisfacer:

$$(\square - m^2) \hat{\Phi}_{nlm}(t, \mathbf{x}) = 0$$

Otras bondades del límite semi-clásico

R. Ruffini, S. Bonazzola Phys. Rev. 187, 1767 (1969).

- $|Q\rangle = |N_{100}, N_{200}, N_{210}, \dots\rangle$. Debido a la ortogonalidad de los estados cuánticos:
 $\langle Q|\hat{T}_{\alpha\beta}|Q\rangle = \sum_{n=1}^{\infty} \sum_{l=1}^{n-1} \sum_{m=-l}^l \langle N_{nlm}|\hat{T}_{\alpha\beta}|N_{nlm}\rangle$, y entonces las ecuaciones de Einstein son

$$G_{\alpha\beta} = 16\pi G \sum_{n,l,m} N_{nlm} T_{\alpha\beta}(nlm)$$

- La ecuación de Klein-Gordon : $(\square - m^2) \hat{\Phi}(t, \mathbf{x}) = 0$, pero recordando

$$\hat{\Phi} = \sum_{nlm} \left[\hat{b}_{nlm} \Phi_{nlm}(t, \mathbf{x}) + \hat{b}_{nlm}^\dagger \Phi_{nlm}^*(t, \mathbf{x}) \right],$$

y por lo tanto, cada coeficiente debe satisfacer:

$$(\square - m^2) \hat{\Phi}_{nlm}(t, \mathbf{x}) = 0$$

- En el límite semiclásico, un sólo campo escalar (misma masa, misma autointeracción), genera mayor diversidad de configuraciones autogravitantes

Otras bondades del límite semi-clásico

En el tratamiento clásico

- Campos escalares reales dan origen a oscilaciones
- Campos escalares complejos dan origen a las estrellas de bosones

En el tratamiento semi-clásico

- No hay oscilaciones: las ecuaciones de un campo real cuantizado da origen a las mismas ecuaciones que un campo complejo clásico \rightarrow BS
- El tensor de energía momento es la suma de los tensores de energía momento de cada estado.

Estrellas de bosones

$$\begin{aligned} \frac{A'}{A^2 x} + \frac{1}{x^2} \left(1 - \frac{1}{A}\right) - \left[\left(\frac{1}{B} + 1\right) \sigma^2 + \frac{\sigma'^2}{A} \right] &= 0, \\ \frac{B'}{ABx} - \frac{1}{x^2} \left(1 - \frac{1}{A}\right) - \left[\left(\frac{1}{B} - 1\right) \sigma^2 + \frac{\sigma'^2}{A} \right] &= 0, \\ \sigma'' + \left(\frac{1}{x} + \frac{B'}{2B} - \frac{A'}{2A} \right) \sigma' + A \left[\left(\frac{1}{B} - 1\right) \sigma \right] &= 0 \end{aligned}$$

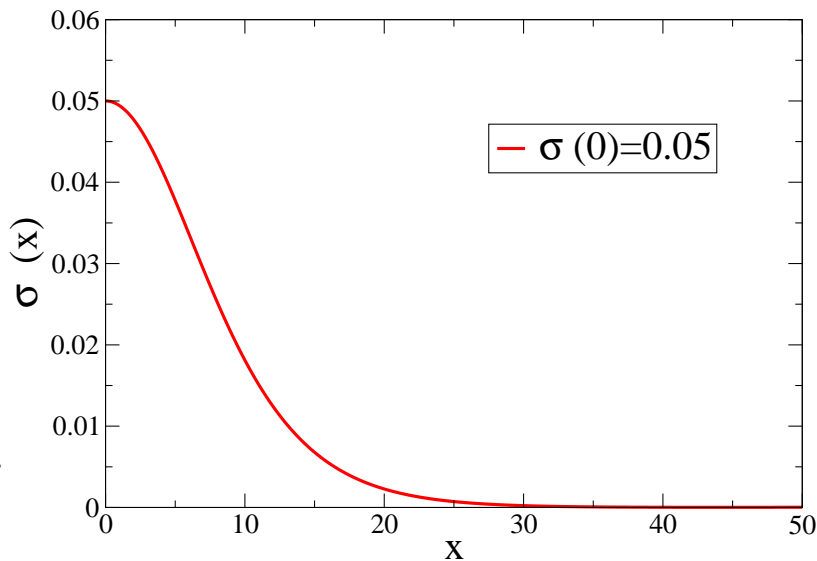
definiciones $x = rm$, $R_{10} = \frac{1}{\sqrt{4\pi G}} \sigma$, $B = E_1^2 B$

Condiciones de frontera

- Regulares en el origen ($r \rightarrow 0$)
- Geometría plana en infinito ($r \rightarrow \infty$)
- $\sigma(0)$ arbitrario

$$M = \frac{1}{2} x_{max} \left[1 - \frac{1}{A(x_{max})} \right] \frac{m_p^2}{m}$$

En el límite Newtoniano $\rho(x) = |\sigma(x)|^2$



Estrellas de bosones: auto-interacción

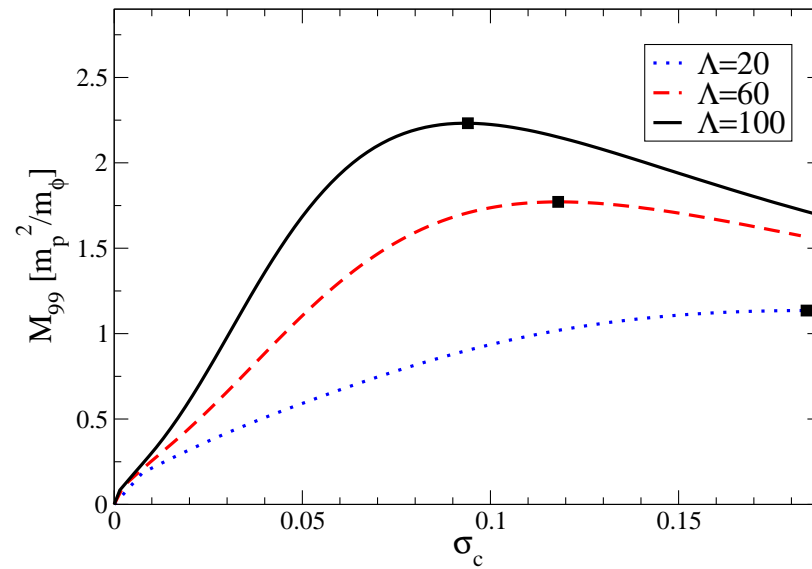
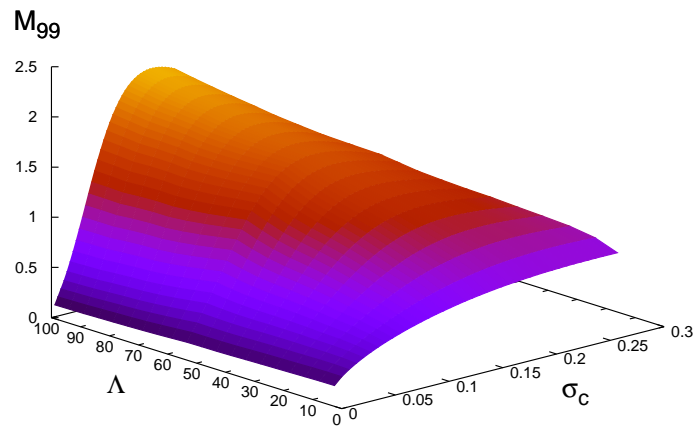
M. Colpi, S. L. Shapiro and I. Wasserman, Phys. Rev. Lett. **57** (1986) 2485.

$$T_{\mu\nu} = \frac{1}{2} (\partial_\mu \Phi \partial_\nu \Phi^* + \partial_\mu \Phi^* \partial_\nu \Phi) - \frac{1}{2} g_{\mu\nu} (g^{\alpha\beta} \partial_\alpha \Phi \partial_\beta \Phi^* + m^2 |\Phi|^2 + \frac{\lambda}{2} |\Phi|^4).$$

$$\Lambda = \frac{\lambda M_p^2}{4\pi m^2}$$

$$\begin{aligned} \frac{A'}{A^2 x} + \frac{1}{x^2} \left(1 - \frac{1}{A}\right) - \left[\left(\frac{1}{B} + 1\right) \sigma^2 + \frac{\Lambda}{2} \sigma^4 + \frac{\sigma'^2}{A} \right] &= 0, \\ \frac{B'}{ABx} - \frac{1}{x^2} \left(1 - \frac{1}{A}\right) - \left[\left(\frac{1}{B} - 1\right) \sigma^2 - \frac{\Lambda}{2} \sigma^4 + \frac{\sigma'^2}{A} \right] &= 0, \\ \sigma'' + \left(\frac{1}{x} + \frac{B'}{2B} - \frac{A'}{2A}\right) \sigma' + A \left[\left(\frac{1}{B} - 1\right) \sigma - \Lambda \sigma^3 \right] &= 0 \end{aligned}$$

Estrellas de bosones con auto-interacción



$$M^{max} = \Lambda^{1/2} \frac{m_p^2}{m}$$

Un primer intento para construir una estrella de axiones

Las propiedades del axión

$$10^{10}\text{GeV} \leq f_a \leq 10^{12}\text{GeV}$$

$$10^{-5}\text{eV} \leq m \leq 10^{-3}\text{eV}$$

En etapas tardías de la evolución del universo, el axión adquiere una densidad de energía potencial dada por

$$V(\phi) = m^2 f_a^2 \left[1 - \cos\left(\frac{\phi}{f_a}\right) \right]$$

La cual podemos expandir como:

$$V(\phi) \sim \frac{1}{2}m^2\phi^2 - \frac{1}{4!}m^2\frac{\phi^4}{f_a^2} + \frac{1}{6!}m^2\frac{\phi^6}{f_a^4} - \dots$$

e identificamos $\lambda = m^2/6f_a^2$: Entonces, uno puede estimar (incorrectamente)

$$M_{max} \sim 10^{27} \sqrt{\lambda} M_{\odot} \approx 10^4 M_{\odot}!$$

F.E. Shunck and W. Mielke. Class. Quantum Grav. **20** (2003)

Estrellas de axiones

$$V(\phi) = m^2 f_a^2 \left[1 - \cos \left(\frac{\phi}{f_a} \right) \right]$$

$$V(\phi) \sim \frac{1}{2} m^2 \phi^2 - \frac{1}{4!} \left(\frac{m}{f_a} \right) \phi^4 + \frac{1}{6!} \frac{m^2}{f_a^4} \phi^6 - \dots$$

$$V(\phi) \rightarrow \langle Q | V(\hat{\phi}) | Q \rangle$$

$$\hat{\phi} = \mu^+ R(r) e^{-iE_1 t} + \mu^- R(r) e^{+iE_1 t}$$

$$\mu |Q\rangle = 0$$

$$\langle Q | \hat{\phi}^2 | Q \rangle = R^2$$

$$\langle Q | \hat{\phi}^4 | Q \rangle = 2R^4$$

$$\langle Q | \hat{\phi}^6 | Q \rangle = 5R^6$$

Hacia una estrellas de axiones

$$x = rm, \quad R = \frac{1}{\sqrt{4\pi G}}\sigma, \quad B \rightarrow \frac{E^2}{m^2}B$$

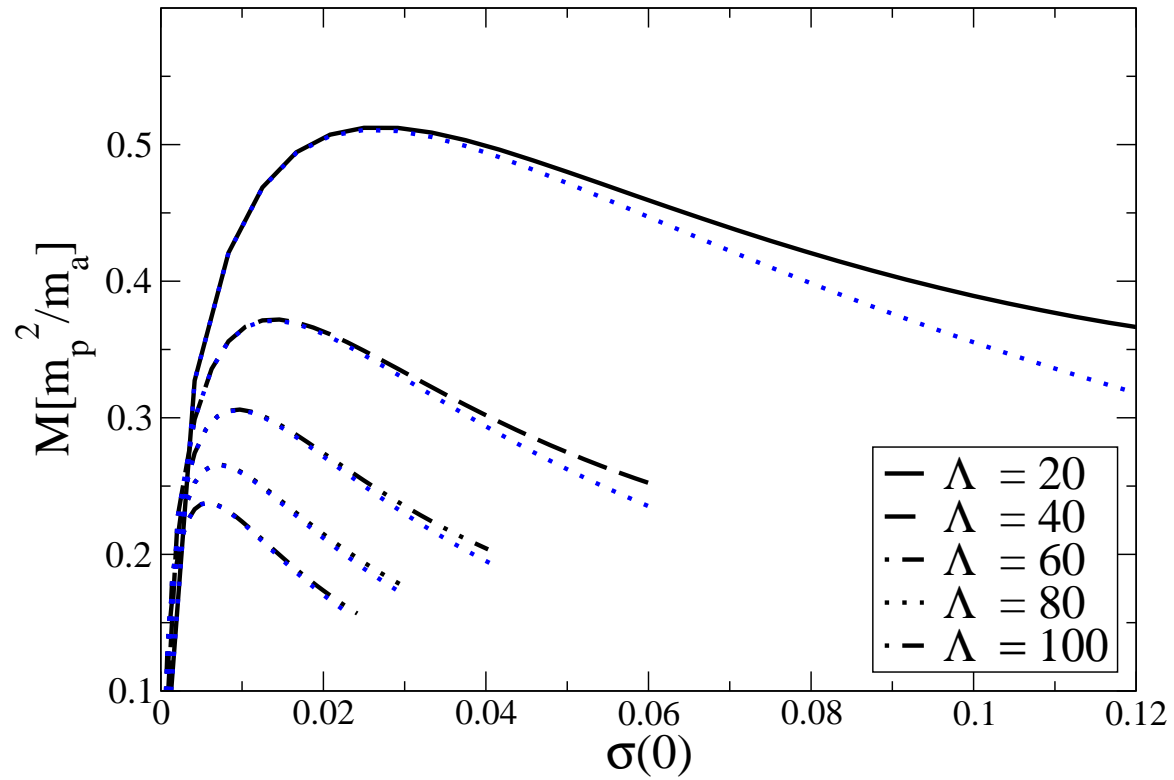
$$\Lambda = \frac{1}{24\pi} \left(\frac{m_p}{f_a} \right)^2$$

$$\frac{A'}{A^2 x} + \frac{1}{x^2} \left(1 - \frac{1}{A} \right) - \left[\left(\frac{1}{B} + 1 \right) \sigma^2 - \frac{2\Lambda}{2} \sigma^4 + \frac{\sigma'^2}{A} + \frac{\Lambda^2}{2} \sigma^6 \right] = 0,$$

$$\frac{B'}{ABx} - \frac{1}{x^2} \left(1 - \frac{1}{A} \right) - \left[\left(\frac{1}{B} - 1 \right) \sigma^2 + \frac{2\Lambda}{2} \sigma^4 + \frac{\sigma'^2}{A} - \frac{\Lambda^2}{2} \sigma^6 \right] = 0,$$

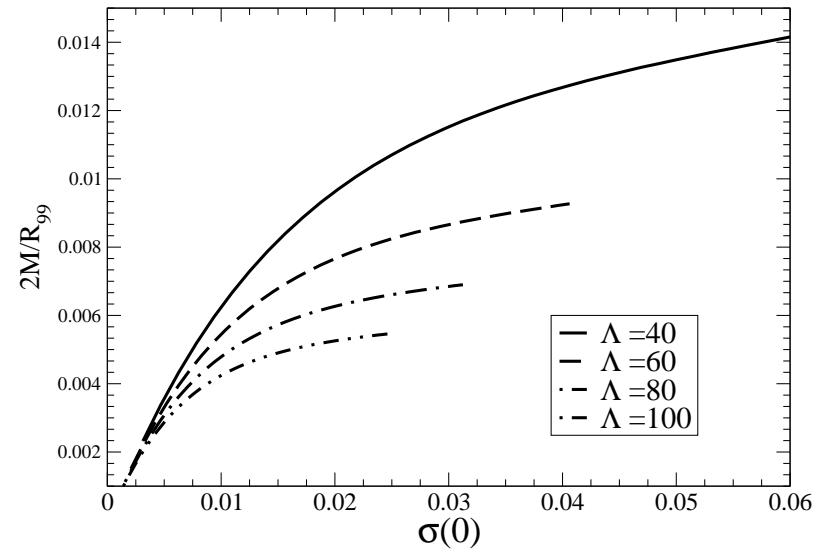
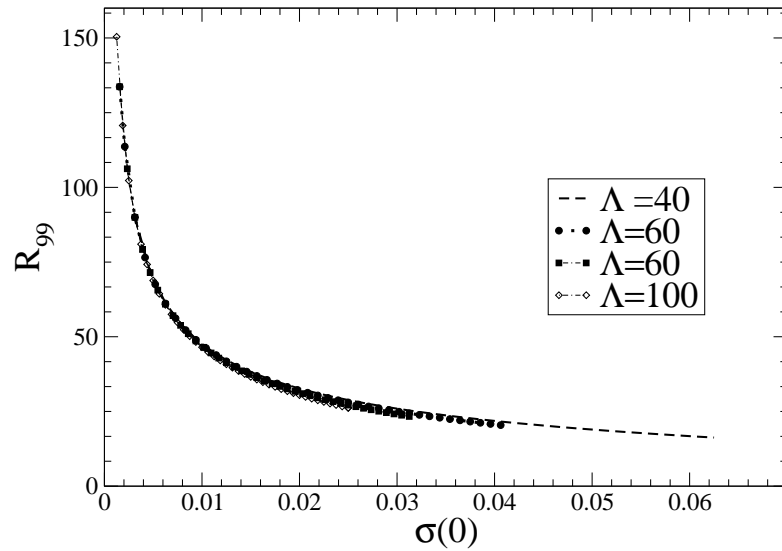
$$\sigma'' + \left(\frac{1}{x} + \frac{B'}{2B} - \frac{A'}{2A} \right) \sigma' + A \left[\left(\frac{1}{B} - 1 \right) \sigma + 2\Lambda \sigma^3 - \frac{3}{2} \Lambda^2 \sigma^5 \right] = 0$$

Hacia una estrella de axiones



Masa de una estrella de bosones con un potencial tipo axión

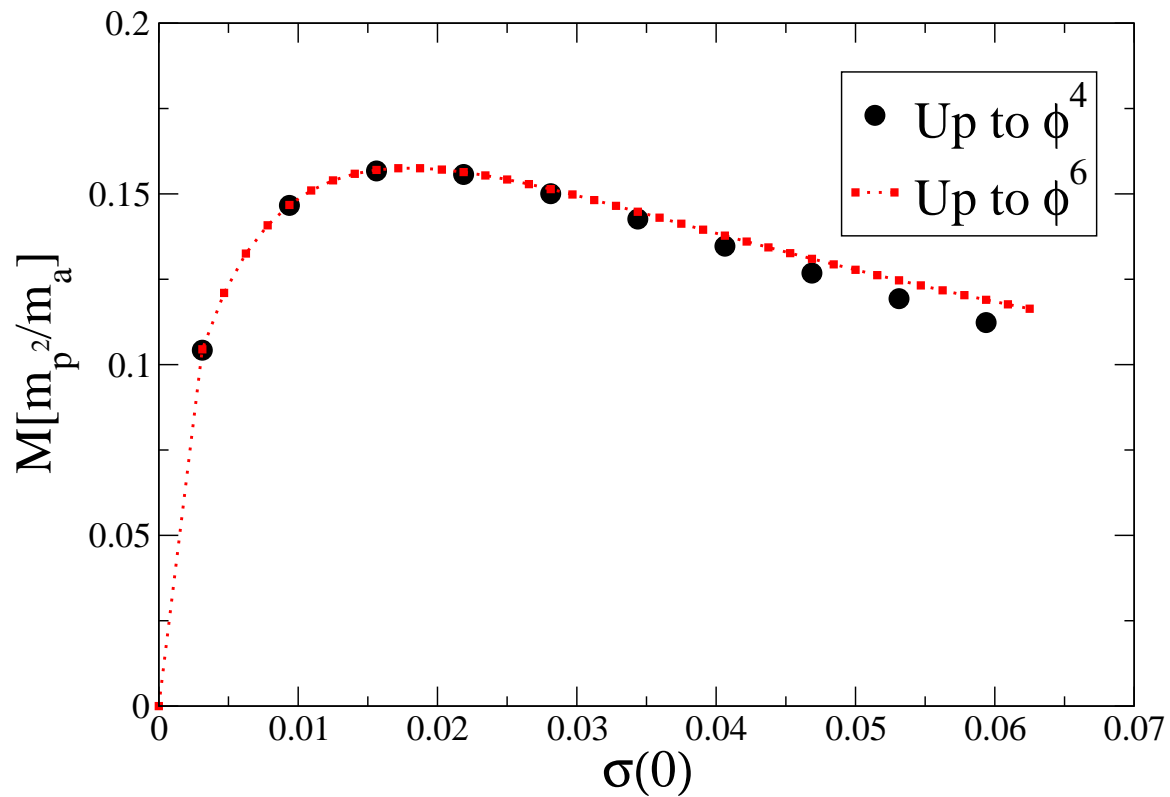
Hacia una estrella de axiones



Cuando $\Lambda \rightarrow \infty$, $2M/R_{99} \rightarrow 0$: **Newtonización**

ϕ^4 vs ϕ^6

$$V(\phi) = m^2 f_a^2 \left[1 - \cos \left(\frac{\phi}{f_a} \right) \right]$$



Estrella de axiones

$$10^{10}\text{GeV} \leq f_a \leq 10^{12}\text{GeV}$$

$$10^{-5}\text{eV} \leq m \leq 10^{-3}\text{eV}$$

$$\Lambda = \frac{1}{24\pi} \left(\frac{m_p}{f_a} \right)^2 \sim 10^{13} - 10^{17}$$

Estrella de axiones

$$10^{10}\text{GeV} \leq f_a \leq 10^{12}\text{GeV}$$

$$10^{-5}\text{eV} \leq m \leq 10^{-3}\text{eV}$$

$$\Lambda = \frac{1}{24\pi} \left(\frac{m_p}{f_a} \right)^2 \sim 10^{13} - 10^{17}$$

$$\begin{aligned} \frac{A'}{A^2 r} + \frac{1}{r^2} \left(1 - \frac{1}{A} \right) - \frac{4\pi}{m_p^2} \left[\left(\frac{E^2}{B} + m^2 \right)^2 - \frac{m^2}{4f_a^2} R^4 + \frac{R'^2}{A} + \frac{m^2}{72f_a^4} R^6 \right] &= 0, \\ \frac{B'}{ABr} - \frac{1}{r^2} \left(1 - \frac{1}{A} \right) - \frac{4\pi}{m_p^2} \left[\left(\frac{E^2}{B} - m^2 \right) R^2 + \frac{m^2}{4f_a^2} R^4 + \frac{R'^2}{A} - \frac{m^2}{72f_a^4} R^6 \right] &= 0, \\ R'' + \left(\frac{1}{r} + \frac{B'}{2B} - \frac{A'}{2A} \right) R' + A \left[\left(\frac{E^2}{B} - m^2 \right) R + \frac{m^2}{f_a^2} R^3 - \frac{m^2}{24f_a^4} R^5 \right] &= 0 \end{aligned}$$

Estrella de axiones

$$10^{10}\text{GeV} \leq f_a \leq 10^{12}\text{GeV}$$

$$10^{-5}\text{eV} \leq m \leq 10^{-3}\text{eV}$$

$$\Lambda = \frac{1}{24\pi} \left(\frac{m_p}{f_a} \right)^2 \sim 10^{13} - 10^{17}$$

$$\begin{aligned} \frac{A'}{A^2 r} + \frac{1}{r^2} \left(1 - \frac{1}{A} \right) - \frac{4\pi}{m_p^2} \left[\left(\frac{E^2}{B} + m^2 \right)^2 - \frac{m^2}{4f_a^2} R^4 + \frac{R'^2}{A} + \frac{m^2}{72f_a^4} R^6 \right] &= 0, \\ \frac{B'}{ABr} - \frac{1}{r^2} \left(1 - \frac{1}{A} \right) - \frac{4\pi}{m_p^2} \left[\left(\frac{E^2}{B} - m^2 \right) R^2 + \frac{m^2}{4f_a^2} R^4 + \frac{R'^2}{A} - \frac{m^2}{72f_a^4} R^6 \right] &= 0, \\ R'' + \left(\frac{1}{r} + \frac{B'}{2B} - \frac{A'}{2A} \right) R' + A \left[\left(\frac{E^2}{B} - m^2 \right) R + \frac{m^2}{f_a^2} R^3 - \frac{m^2}{24f_a^4} R^5 \right] &= 0 \end{aligned}$$

$$R = \frac{f_a}{\sqrt{m}} \sigma, \quad r = \frac{m_p}{f_a} \sqrt{\frac{m}{4\pi}} x, \quad \alpha = \frac{4\pi f_a^2}{m_p^2 m}$$

Estrella de axiones

$$R = \frac{f_a}{\sqrt{m}}\sigma, \quad r = \frac{m_p}{f_a} \sqrt{\frac{m}{4\pi}}x, \quad \alpha = \frac{4\pi f_a^2}{m_p^2 m}$$

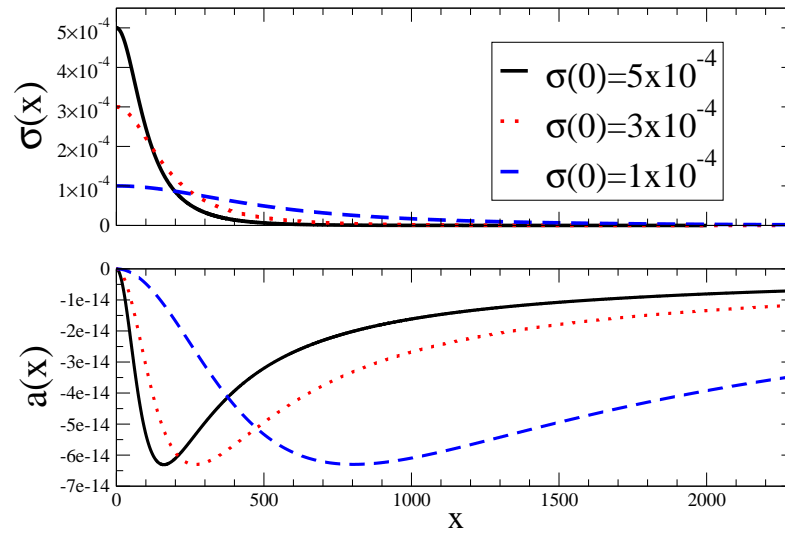
$$A(x) = 1 - a(x)$$

$$a' + \frac{a(1+a)}{x} + (1-a)^2 x \left[\left(\frac{1}{B} + 1 \right) m^2 \sigma^2 - \frac{m\sigma^4}{4} + \alpha \frac{\sigma'^2}{(1-a)} + \frac{\sigma^6}{72} \right] = 0,$$

$$B' + \frac{aB}{x} - (1-a)Bx \left[\left(\frac{1}{B} - 1 \right) m^2 \sigma^2 + \frac{m\sigma^4}{4} + \alpha \frac{\sigma'^2}{(1-a)} - \frac{\sigma^6}{72} \right] = 0,$$

$$\sigma'' + \left(\frac{2}{x} + \frac{B'}{2B} + \frac{a'}{2(1-a)} \right) \sigma' + (1-a) \left[\left(\frac{1}{B} - 1 \right) m^2 \sigma + \frac{m\sigma^3}{3} - \frac{\sigma^5}{24} \right] = 0$$

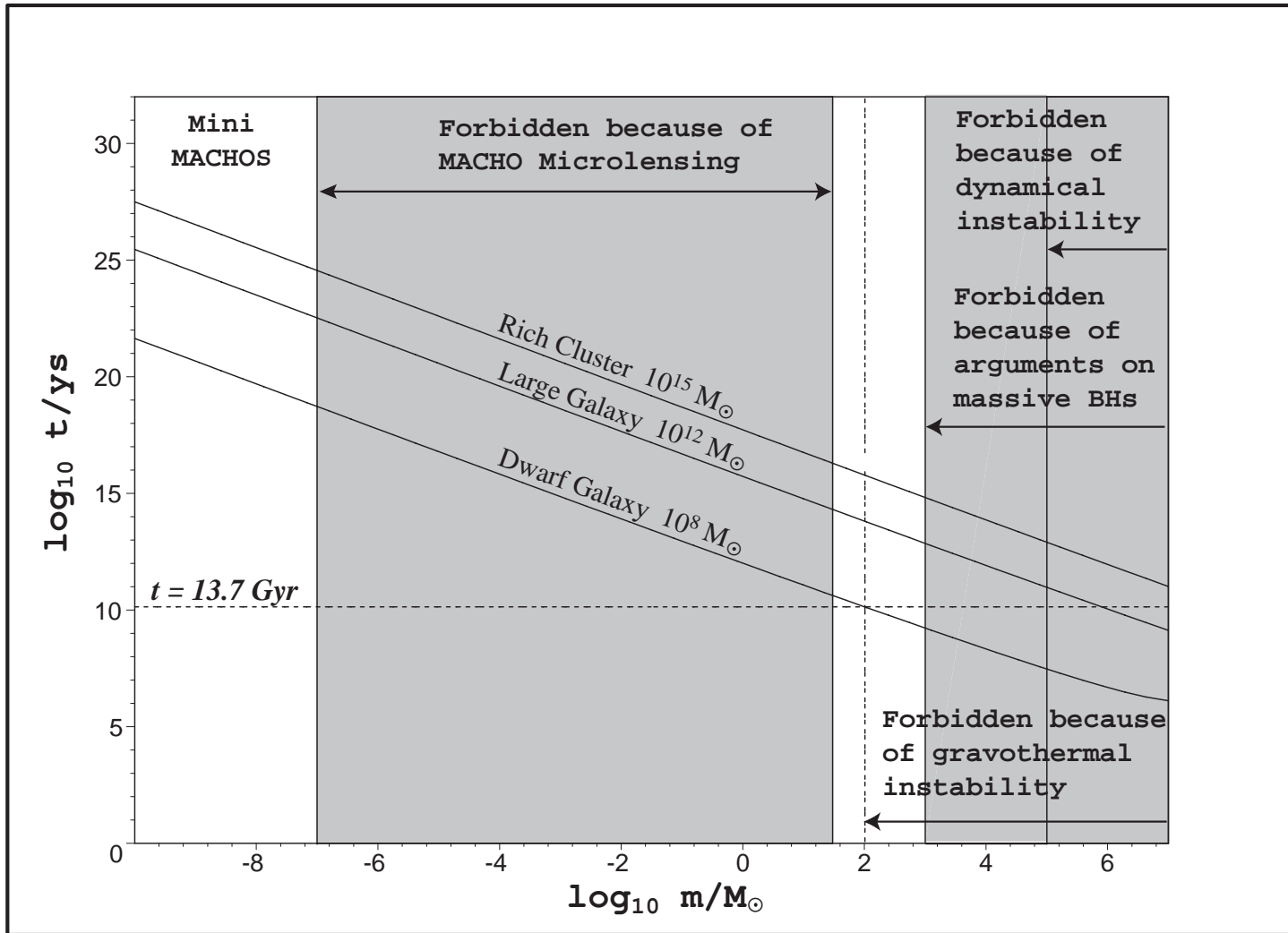
Estrella de axiones



$$r = \frac{m_p}{f_a} \sqrt{\frac{m}{4\pi}} x$$

$\sigma(0)$	Mass (Kg)	R_{99} (meters)	density ρ (Kg/m ³)
5×10^{-4}	$3,90 \times 10^{13}$	1,83	$6,3 \times 10^{12}$
3×10^{-4}	$6,48 \times 10^{13}$	2,86	$2,7 \times 10^{12}$
1×10^{-4}	$1,94 \times 10^{14}$	8,54	$3,1 \times 10^{11}$

¿Es malo?



X. Hernandez, T. Matos, R. A. Sussman and Y. Verbin,
Phys. Rev. D 70, 043537 (2004)

¿Es malo?

- Debido a la “Newtonización”, la densidad de las estrellas de axiones no es suficiente para que se de el proceso $a + a \rightarrow \gamma$. $\Gamma_{\pi} m_p^2 V_e f_{\pi} / (R m_{\pi}^4 f_a) > 1$ el cual implica densidades $\rho > 10^{15} \text{ Kg/ m}^3$ para $m = 10^{-5} \text{ eV}$.
- ¿Es posible detectar a las estrellas de axiones a través de la conversión del axión a fotón en campos magnéticos externos?

Self-gravitating system made of axions.

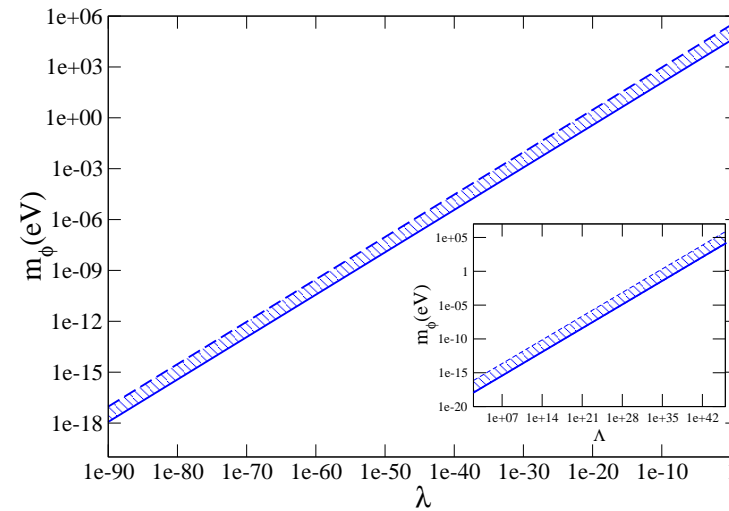
J. Barranco, A. Bernal,

e-Print: arXiv:1001.1769 [astro-ph.CO]

Phys. Rev. D **83**, 043525 (2011)

Estrellas de bosones como imitadores de hoyos negros super-masivos

¿Puede una estrella de BS imitar a SgrA*?

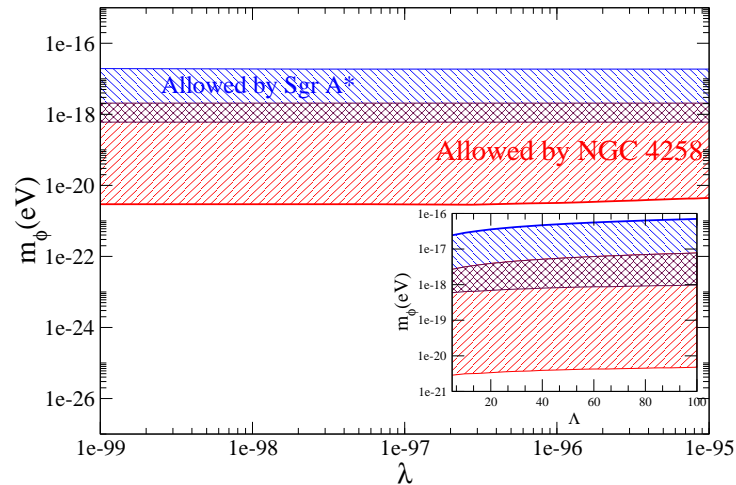


$$m_\phi \geq \frac{M_{\min}(\Lambda)}{M_{\text{SgrA}^*}} m_P^2 \quad M_{\min}(\Lambda) \equiv C_{\min} R(\sigma_c^*)$$

$$m_\phi \leq \frac{M_{\max}(\Lambda)}{M_{\text{SgrA}^*}} m_P^2 .$$

$$3,7 \times 10^4 \lambda^{1/4} \leq m_\phi \leq 2,9 \times 10^5 \lambda^{1/4} \text{ eV} .$$

¿Puede una estrella de BS imitar a SgrA*?



$$6,3 \text{ eV} \lesssim \frac{m_\phi}{\lambda^{1/4}} \lesssim 9,6 \times 10^4 \text{ eV}.$$

Constraining scalar fields with stellar kinematics and collisional dark matter

Pau Amaro-Seoane, Juan Barranco, Argelia Bernal, Luciano Rezzolla,
JCAP 1011:002,2010.

Conclusiones

- ¿EOS ó límite semiclasico? Para neutralinos (EOS) y para axiones (límite semiclasico) los sistemas auto-gravitantes obtenidos son muy pequeños.
 - El halo de materia oscura sería un ensamble no colisionante de estrellas de axiones (o neutralinos)
 - Estos mini-machos de materia oscura escalar no pueden ser descartados por las mediciones de micro-lensing.
- No se da la reacción: $a + a \rightarrow \gamma$
- La detección directa de los axiones será muy difícil: en un NFW, habrá una estrella de axiones en el sistema solar.
- Los sistemas autogravitantes de campo escalar pueden ser muy diversos:
 - Objetos tan compactos y masivos como Hoyos negros supermasivos
 - El halo de materia oscura